한국치위생교육학회지: 제6권 제4호, 2006 J Korean Acad Dental Hygiene Education Vol.6, No.4, 2006

Dot blot hybridization법을 이용한 Fusobacterium nucleatum 아종-특이 DNA 프로브의 특이성 평가

김화숙 · 국중기1

전남과학대학 치위생과, 1조선대학교 치과대학 구강생화학교실

색인: Fusobacterium nucleatum, 16S rDNA, 핵산염기서열, dot blot hybridization

I. 서 론

치주질환 병원균 중 하나인 Fusobacterium nucleatum은 구강 내에서 빈도 높게 검출되는 세균으로 그람음성의 비아포형성 및 비운동성을 지닌 편성 혐기성 간균이다^{14,15)}. F. nucleatum은 glucose와 peptone 발효의 대사산물로서 butyric acid를 분비하여 구강 내 치주조직에 해로운 자 극을 주고, 치주질환의 발생 및 진행에 있어서 중요한 역할을 하는 미생물중의 하나이다1) 성숙 된 치면세균막과 초기 치은염 부위, 그리고, 파괴 적인 치주질환 부위인 활성부위에서 세균수가 상 대적으로 증가하고, 건강한 치은열구나 성공적으 로 치료된 비활성부위에서도 많은 수가 검출된다 ^{3,4,14)} 따라서 *F nucleatum*은 활성부위와 비활성 부위의 치주병소와 관련하여 아종에 따라 각기 다른 병원성을 갖는 것으로 생각하게 되었다5). 이러한 F. nucleatum을 아종 수준에서 분류하기

위한 세균동정법으로는 세균배양법, DNA homology, 전체 세포단백질 분석, DNA fingerprinting, 21 alloenzyme법, DNA 프로브법, 중합효소연쇄반응법(polymerase chain reaction), 168 또는 238 ribosomal RNA 유전자 핵산염기서열 결정법 그리고 DNA-DNA hybridization 등이이용되고 있다^{2,4,5,7,8,10,11,16,17,18)}.

F. nucleatum의 아종 수준에서의 분류는 Gharbia & Shah⁶⁻⁸⁾ 의해 2-oxoglutarate reductase(OGR)와 glutamate dehydrogenase (GDH) 전기영동패턴이 이용되어 F. nucleatum subspecies nucleatum, F. nucleatum subsp. polymorphum 및 F. nucleatum subsp. fusiforme의 세 그룹으로 분류되었다. 또한, Dzink 등²⁾도 DNA homology와 sodium dodecyl sulfate(SDS)-polyacrylamide gel electrophoresis(PAGE) 방법을 이용하여 F. nucleatum subsp. nucleatum과 F. nucleatum

subsp. polymorphum 및 F. nucleatum subsp. vincentii로 분류하였다. 그러나, F. nucleatum을 아종 수준에서 분류하기 위해 이용되었던 기존의 방법들은 많은 시간과 경제력을 필요로 하고, 여 러 가지 기술적인 어려움을 가지고 있다. 최근 Kook 등¹²⁾은 inverted dot blot hybridization screening과 southern blot hybridization법을 이 용하여 F. nucleatum 4가지 아종에 대한 아종-특 이 DNA 프로브를 개발하였다. F. nucleatum subsp. nucleatum에 대한 프로브는 Fu4(1.3 kb) 라 명명되었고. F. nucleatum subsp. polymorphum, F. nucleatum subsp. vincentii 및 F. nucleatum subsp. fusiforme에 대한 프로 브들은 각각 Fp4(0.8 kb)와 Fv35(1.9 kb), Fs17(8.2 kb)이라고 명명되었다.

그러나 Kook 등¹²⁾이 개발한 *F. nucleatum* 아종 특이 DNA 프로브는 서양인에서 확립된 균주의 genome DNA에서 클로닝하여 얻은 것으로 한국인의 치주질환 환자에서 분리 배양하여 얻은 *F. nucleatum*을 아종 수준에서 동정하는데 이용 가능한지에 대한 연구는 이루어지지 않았다. 그러므로, 본 연구에서는 한국인의 치주질환 부위에서 분리된 *F. nucleatum*을 16S rRNA 유전자 클로닝 및핵산염기서열결정법으로 동정하고, Kook 등¹²⁾이 개발한 *F. nucleatum* 아종 특이 DNA 프로브를 이용하여 dot blot hybridization을 실시한 다음, 두결과를 비교 분석하여 이들 DNA 프로브가 *F. nucleatum*의 아종 수준에서의 동정에 이용 가능한지를 알아보고자 시행하였다.

2. 연구재료 및 방법

2.1. 치면세균막 채취 및 *F. nucleatum* 선택배지에서 배양

조선대학교 치과병원에 내원한 29명의 치주질

환 환자로부터 탐침깊이가 4 mm 이상인 상하악 구치부 협면 또는 설면에서 멸균된 paper point 을 이용하여 치은 연하 치면세균막을 채취하여 reduced transfer fluid 1 ml에 담고, 이를 즉시 실험실로 옮겼다.

채취한 샘플은 10,000배 희석하여, *F. nucleatum* 선택배지(1% trytic soy broth, 0.5% yeast extract, 0.5% NaCl, 0.2% glucose, 0.02% L-tryptophan, 1.5% Bacto agar, 5% defibrinized sheep blood, 4 µ/ml erythromycin, 5 µ/ml crystal violet)에 도말한 후, 37℃ 혐기성배양기 (85% N2, 5% CO2, 10% H2, Model Bactron I, Cornelius, OR, USA)에서 2~3일 동안 배양하였다. Crystal violet에 의해 보라색을 띠는 군락을 선택하여 erythromycin이 함유된 Schaedler 배지에서 2~3일 동안 배양하여 다음의 실험에 사용하였다.

2.2. *F. nucleatum*의 genomic DNA 추출

Genome DNA는 Lippke 등¹³⁾의 방법을 변형하여 추출하였다. 각각의 세균은 35 ml의 액체배지에서 배양하였고, 10분간 원심분리 (7,000×g)하여 세균의 압착 결정을 얻었다. 압착 결정에 lysis buffer[5 M guanidine isothiocyanate, 50 mM Tris-HCl pH 7.6, 10 mM EDTA(ethylenediaminetetraacetic acid), 2% S-lauryl sarcosinate, 140 mM 2-mercapto ethanoll를 가하여 잘 현탁하고, phenol/chloroform 추출법 19)으로 genome DNA를 정제하였다. DNA 농도는 UV spectrophotometry(Ultrospec 2000, Pharmacia Biotech, Cambridge, UK)로 260~280 nm에서 파장을 이용하여 측정하였다.

2.3. 중합효소연쇄반응

F. nucleatum의 16S rDNA 종-특이 중합효소

丑 1. Bacterial strains used in this study

Species	Strains	Remarks
Fusobacterium nucleatum subsp. nucleatum	ATCC* 25586	type strain
F. nucleatum subsp. nucleatum	ATCC 23726	-
F. nucleatum subsp. polymorphum	ATCC 10953	type strain
F. nucleatum subsp. vincentii	ATCC 49256	type strain
F. nucleatum subsp. fusiforme	ATCC 51190	type strain
F. periodonticum	ATCC 33693	type strain
F. necrophorum subsp. necrophorum	ATCC 25286	type strain
F. nucleatum subsp. animalis	ATCC 51191	type strain
F. nucleatum	ChDC** F37 ⁺	clinical isolate
F. nucleatum	ChDC PV-F37 ⁺	clinical isolate
F. nucleatum	ChDC PV-F45 ⁺	clinical isolate
F. nucleatum	ChDC PV-F48 ⁺	clinical isolate
F. nucleatum	ChDC PV-F49 ⁺	clinical isolate
F. nucleatum	ChDC PV-F53 ⁺	clinical isolate
F. nucleatum	ChDC PV-F55 ⁺	clinical isolate
F. nucleatum	ChDC PV-F58 ⁺	clinical isolate
F. nucleatum	ChDC PV-F61 ⁺	clinical isolate
F. nucleatum	ChDC PV-F63 ⁺	clinical isolate
F. nucleatum	ChDC PV-F65 ⁺	clinical isolate
F. nucleatum	ChDC PV-F67 ⁺	clinical isolate
F. nucleatum	ChDC F113 ⁺⁺	clinical isolate
F. nucleatum	ChDC F119 ⁺⁺	clinical isolate
F. nucleatum	ChDC F134 ⁺⁺	clinical isolate
F. nucleatum	ChDC F145 ⁺⁺	clinical isolate
F. nucleatum	ChDC F165 ⁺⁺	clinical isolate
F. nucleatum	ChDC F174 ⁺⁺	clinical isolate
F. nucleatum	ChDC F186 ⁺⁺	clinical isolate
F. nucleatum	ChDC F218 ⁺⁺	clinical isolate
F. nucleatum	ChDC F219 ⁺⁺	clinical isolate
F. nucleatum	ChDC F251**	clinical isolate
F. nucleatum	ChDC F260 ⁺⁺	clinical isolate
F. nucleatum	ChDC F267 ⁺⁺	clinical isolate
F. nucleatum	ChDC F286 ⁺⁺	clinical isolate
F. nucleatum	ChDC F288 ⁺⁺	clinical isolate
F. nucleatum	ChDC F289**	clinical isolate
F. nucleatum	ChDC F290 ⁺⁺	clinical isolate

^{*} American Type Culture Collection(University Boulevard, Manassas, VA, USA)

연쇄반응 프라이머(ALL-F6; 5'-CGG GAG GCA GCA GTG GGG AAT-3', Fn-R6; 5'-TTG CTT

GGG CGC TGA GGT TC-3')를 이용하여 선택배 지에 자라난 균주가 *F. nucleatum*인지를 일차 동

^{**} Department of Oral Biochemistry, College of Dentistry, Chosun University

⁺ Jang et al., 20039)

⁺⁺ Identified in this study

정하였다. AccuPower® Premix(Bioneer Co., Seoul, Korea)에 20 씨의 PCR 혼합용액이 되도록 20 pmoles씩의 ALL-F6 및 Fn-R6 프라이머와 100 pg의 세균 genome DNA를 넣고, PTC-200 PCR machine(MJ Research Inc., Watertown, MA, USA)을 사용하여 중합효소연쇄반응을 시행하였다. 중합효소연쇄반응의 조건은 94℃에서 2분간 predenaturation 시행한 후, 94℃에서 1분간 denaturation, 65℃에서 30초간 annealing, 72℃에서 45초간 extension 단계를 30회 반복한 후, final extension을 위해 72℃에서 10분간 시행하였다. 최종 반응물 중 2 씨를 1.5% agarose gel에서 전기영동하여 그 증폭 산물을 확인하였다.

F. nucleatum으로 확인된 세균은 16S rDNA를 증폭할 수 있는 universal PCR 프라이머(27F; 5'-AGA GTT TGA TC[A/C] TGG CTC AG-3', 1492R; 5'-TAC GG[C/T] TAC CTT GTT ACG ACT T-3')를 이용하여 중합효소연쇄반응을 시행하였다. 중합효소연쇄반응의 조건은 94℃에서 2분간 predenaturation을 실시한 다음 94℃에서 1분간 denaturation, 55℃에서 30초간 annealing, 72℃에서 1분간 extension 과정을 30회 반복하여시행하고, 마지막 extension을 72℃에서 10분간시행하여 16S rDNA를 증폭하였다.

2.4. 증폭된 16S rDNA의 클로닝, 플라스미드 추출 및 핵산염기 서열 결정

증폭한 16S rDNA를 pGEM-T easy vector(Promega Corp., Madison, WI, USA)에 제조회사의 지시에 따라 클로닝하고, *E. coli* DH5 α에 형질 전환하였다. 재조합된 플라스미드 DNA는 통상의 alkaline lysis법으로 *Accul*PrepTM Plasmid Extraction Kit(Bioneer Corp., Seoul, Korea)를 이용하여 제조회사의 지시에 따라 추출한 후 -20℃에 보관하여 핵산염기서열 결정

(Bioneer Co., Seoul, Korea)에 사용하였다.

16S rDNA 핵산염기서열 결정을 위해 ChDC-GEM-F(5'-TTC CCA GTC ACG ACG TTG TAA AA-3'), ChDC-GEM-R(5'-GTG TGG AAT TGT GAG CGG ATA AC-3'), Seq-F1(5'-CCT ACG GGA GGC AGC AG-3') 및 Seq-R2(5'-GAC TAC CAG GGT ATC TAA TCC-3') 프라이머를 이용하였다. 4가지 프라이머에 의해 결정된 핵산염기서열을 하나의 contig로 assemble하기 위해 SeqMan 프로그램(Version 5.0; DNASTAR, Inc., Maidison, WI, USA)을 이용하여 분석하였다.

이와 같이 치주질환 환자의 치면세균막으로부터 분리한 F. nucleatum 세균 종과 $Jang 등 ^{9)}$ 이 연구하여 얻은 F. nucleatum 균주를 본 연구에 사용하였다 $\langle 표 1 \rangle$.

2.5. DNA 프로브의 정제 및 표지

DNA 프로브의 정제는 QIAEX II[®](QIAGEN Inc., Valencia, CA, USA)를 이용하여 제조회사의 지시에 따라 정제하였다.

정제된 DNA 프로브는 DIG-High Prime(Roche Diagnostics, Mannheim, Germany)을 이용하여 표지하였다. 표지 과정은 1 ㎏의 DNA에 최종 부피가 16 씨가 되도록 증류수를 넣고 95℃에서 10분간 가열하여 DNA를 변성시킨 후 곧바로 얼음에 넣어 냉각하였다. 여기에 4 씨 DIG-High Prime을 첨가하여 잘 섞어 spin-down한 후 37℃에서 12시간 배양하였다. 배양 후 0.2 M EDTA를 넣어 반응을 정지시켰다. 표지된 DNA는 AccuPrep™ PCR Purification kit(Bioneer Co., Seoul, Korea)를 이용하여 제조회사의 지시에 따라 실시하였고, 여과액은 다음 실험에 사용하였다.

2.6. Dot blot hybridization 및 Chemiluminescence detection

표 1에서 제시한 36개의 균주를 dot blot

hybridization에 이용하였다. 95℃에서 10분간 가 열하여 DNA를 변성시킨 후 재빨리 얼음에 넣어 5분 동안 식혔다. 변성된 DNA 20 ng을 2.5 씨씩 nylon membrane(Schleicher & Schuell, Inc., Keene, NH, USA)에 spot하였고, 120℃에서 30 분 동안 baking하였다. Nylon membrane은 hybridization solution {50% deionized formanide, 5×SSC(0.75 M sodium chloride, 0.075 M sodium citrate), 2% blocking reagent 에서 42℃, 2시간 동안 prehybridization하였다. 그 다음 solution은 버리고, DIG-labeled probe 가 담긴 hybridization solution을 넣고 42℃에서 overnight시켰다. 그 다음 nylon membrane은 2×wash buffer(2×SSC, 0.1% SDS)로 2회 세척 하고, 이를 다시 0.5×wash buffer(0.5×SSC, 0.1% SDS)로 68℃에서 15분간 2회 세척하였다. Nylon membrane을 100 ml의 blocking solution 에 넣고 30분간 배양한 다음 blocking solution에 anti-DIG-AP conjugate를 75 mU/ml(1:10,000)를 첨가하여 희석한 20 ml antibody solution에 membrane를 담아 30분간 반응시킨 후, 15분간 100 ml washing buffer로 2회 세척하였다. Nylon membrane을 20 ml의 detection buffer에 넣어 2~5분간 담그고, DNA 쪽이 위로 향하게 하여 polyethylene film 상에 놓고 CSPD[®][25 mM 3-<-4-methoxysporo{1,2-dioxetane-3,2-(5-chloro)tricyclo[3,3,1,13, 7]decan}-4-vl> phenyl phosphatel를 detection buffer에 약 1:100으로 희석하여 적용한 후 즉시 반대측 sheet로 덮어 기질이 membrane 상부에 골고루 퍼질 수 있게 한 다음 과량의 용액을 제거하고, 5분간 실온에서 반응 후 형광반응이 일어나도록 37℃ 배양기에서 15분간 반응시킨 후, 실온에서 X-ray film(Roche Diagnostics, Mannheim, Germany)에 두 시간 동안 노출시켰다.

3. 연구성적

3.1. 16S rDNA 핵산염기서열 결정 법을 통한 *F. nucleatum*의 동정

F. nucleatum 선택배지에서 보라색을 띠는 세균 군락을 선택하여 F. nucleatum 종-특이 프라이머로 중합효소연쇄반응을 실시한 결과 23개 균주에서 양성반응을 보였다. 23 균주를 168 rDNA 클로닝과 핵산염기서열 결정법을 시행하여 이미 알려진 F. nucleatum 표준균주의 168 rDNA 핵산염기서열과의 상동성을 알아보고자 GenBank의 데이터 베이스를 이용하여 검색한 결과, 98% 이상의 상동성을 갖는 23 균주의 F. nucleatum을 얻었다. 12 균주의 F. nucleatum subsp. nucleatum/polymorphum, 1 균주의 F. nucleatum subsp. nucleatum/polymorphum, 1 균주의 F. nucleatum subsp. nucleatum/polymorphum, 2 균주의 F. nucleatum subsp. canifelium, 2 균주의 F. nucleatum subsp. canifelium, 2 균주의 Fusobacterium sp.이 검출되었다〈표 2〉.

본 연구에서 분리한 23 균주의 F. nucleatum 및 Jang 등⁹⁾이 분리한 *F. nucleatum* 균주를 이미 알려진 F. nucleatum 표준균주의 16S rDNA 핵 산염기서열과 MegAlign(Version 5.0; DNASTAR) 으로 비교한 결과 88.7~99.7%의 상동성을 보였 다. 그리고 이들의 핵산염기서열간의 관계를 phylogram을 이용하여 비교한 결과 30개 이내의 염기가 서로 다른 경우를 한 군으로 분류하면 10 개의 그룹으로 나눌 수 있었다(그림 1). 그룹 I은 F. nucleatum subsp. polymorphum ATCC 10953과 ChDC PV-F42, ChDC PV-F45, ChDC PV-F46, ChDC PV-F48, ChDC PV-F49, ChDC PV-F53, ChDC PV-F55, ChDC PV-F61, ChDC PV-F63, ChDC PV-F65, ChDC PV-F67, ChDC F113, ChDC F119, ChDC F145, ChDC F175, ChDC F219, ChDC F286, ChDC F288, ChDC F289, ChDC F290간에 96.5~99.7%의 상동성을

표 2. Homology search of 16S rDNA nucleotide of F. nucleatum isolated from subgingival plaque of Korean periodontitis patients

Strains	Genus or species match (Gene Bank access number)	Identity(%)
ChDC F113	F. nucleatum subsp. canifelium RMA 12708 (AY162219)	98
	F. nucleatum subsp. polymorphum ATCC 10953 (AF287812)	98
	F. nucleatum subsp. nucleatum ATCC 25586 (AE010523)	98
	F. naviforme NCTC 11464 (AJ006965)	98
ChDC F119	F. nucleatum subsp. polymorphum ATCC 10953 (AF287812)	98
	F. nucleatum subsp. canifelium RMA 12708 (AY162219)	98
	F. nucleatum subsp. nucleatum ATCC 25586 (AE010523)	98
	F. naviforme NCTC 11464 (AJ006965)	98
ChDC F128	F. nucleatum subsp. canifelium RMA 12708 (AY162219)	98
	F. nucleatum subsp. nucleatum ATCC 25586 (AE010523)	98
	F. naviforme NCTC 11464 (AJ006965)	98
ChDC F130	F. nucleatum subsp. nucleatum ATCC 25586 (AE010523)	98
	F. nucleatum subsp. canifelium RMA 12708 (AY162220)	98
ChDC F134	F. nucleatum subsp. nucleatum ATCC 25586 (AE010523)	98
	F. naviforme NCTC 11464 (AJ006965)	98
ChDC F136	F. nucleatum subsp. canifelium RMA 12708 (AY162220)	98
	F. nucleatum subsp. nucleatum ATCC 25586 (AE010523)	98
	F. naviforme NCTC 11464 (AJ006965)	98
ChDC F145	F. nucleatum subsp. canifelium RMA 12708 (AY162220)	99
	F. nucleatum subsp. polymorphum ATCC 10953 (AF287812)	98
	F. nucleatum subsp. nucleatum ATCC 25586 (AE010523)	98
	F. naviforme NCTC 11464 (AJ006965)	98
ChDC F165	F. nucleatum subsp. canifelium RMA 12701 (AY162219)	98
	F. nucleatum subsp. nucleatum ATCC 25586 (AE010523)	98
	F. naviforme NCTC 11464 (AJ006965)	98
ChDC F171	F. nucleatum subsp. canifelium RMA 12701 (AY162219)	98
ChDC F174	F. nucleatum subsp. canifelium RMA 12701 (AY162219)	98
	F. nucleatum subsp. nucleatum ATCC 25586 (AE010523)	98
ChDC F175	F. nucleatum subsp. canifelium RMA 12701 (AY162219)	98
	F. nucleatum subsp. nucleatum ATCC 25586 (AE010523)	98
ChDC F186	F. nucleatum subsp. polymorphum ATCC 10953 (AF287812)	98
	F. nucleatum subsp. canifelium RMA 12701 (AY162219)	98
	F. nucleatum subsp. nucleatum ATCC 25586 (AE010523)	98

보였다. 그룹 II는 ChDC F165, 그룹 III는 ChDC F47, 그룹 IV는 *F. nucleatum* subsp. *nucleatum* ATCC 25586, ChDC F37, ChDC F38, ChDC

F130으로 98.4~99.7%의 상동성을 보였고, 그룹 V는 *F. nucleatum* subsp. *animalis* NCTC 12276, ChDC PV-F58(97.3%), 그룹 VI는 *F.*

(계속)

Strains	Genus or species match (Gene Bank access number)	Identity(%)
ChDC F206	F. nucleatum subsp. canifelium RMA 12701 (AY162219)	98
	F. nucleatum subsp. nucleatum ATCC 25586 (AE010523) F. naviforme NCTC 11464 (AJ006965)	98 98
ChDC F213	Fusobacterium sp. oral clone BS011 (AF432130)	98
	Fusobacterium sp. oral clone EX162 (AY134900)	98
	F. nucleatum E9_12 (AF481217)	98
ChDC F218	F. nucleatum subsp. canifelium RMA 11693 (AY162222)	98
	F. nucleatum subsp. nucleatum ATCC 25586 (AE010523)	98
ChDC F219	F. nucleatum subsp. polymorphum ATCC 10953 (AF287812)	98
	F. nucleatum subsp. nucleatum ATCC 25586 (AE010523)	98
ChDC F251	F. nucleatum subsp. nucleatum ATCC 25586 (AE010523)	98
ChDC F260	F. nucleatum subsp. nucleatum ATCC 25586 (AE010523)	98
ChDC F267	Fusobacterium sp. oral clone BS011 (AF432130)	98
	Fusobacterium sp. oral clone EX162 (AY134900)	98
	F. nucleatum E9_12 (AF481217)	98
ChDC F286	F. nucleatum subsp. polymorphum ATCC 10953 (AF287812)	98
	F. nucleatum subsp. canifelium RMA 12701 (AY162219)	98
	F. nucleatum subsp. nucleatum ATCC 25586 (AE010523)	98
	F. naviforme NCTC 11464 (AJ006965)	98
ChDC F288	F. nucleatum subsp. polymorphum ATCC 10953 (AF287812)	98
	F. nucleatum subsp. canifelium RMA 12701 (AY162219)	98
	F. nucleatum subsp. nucleatum ATCC 25586 (AE010523)	98
	F. naviforme NCTC 11464 (AJ006965)	98
ChDC F289	F. nucleatum subsp. polymorphum ATCC 10953 (AF287812)	98
	F. nucleatum subsp. canifelium RMA 12701 (AY162219)	98
	F. nucleatum subsp. nucleatum ATCC 25586 (AE010523)	98
	F. naviforme NCTC 11464 (AJ006965)	98
ChDC F290	F. nucleatum subsp. polymorphum ATCC 10953 (AF287812)	98
	F. nucleatum subsp. canifelium RMA 12701 (AY162219)	98
	F. nucleatum subsp. nucleatum ATCC 25586 (AE010523)	98
	F. naviforme NCTC 11464 (AJ006965)	98

nucleatum subsp. vincentii ATCC 49256, ChDC F8, F. nucleatum subsp. fusiforme NCTC 11326, ChDC PV-F37, 그룹 VII은 ChDC F171, ChDC F213, ChDC F251, ChDC F260, ChDC F267, 그룹 VIII은 ChDC F128, ChDC F134, ChDC F136, ChDC F174, 그룹 IX은 ChDC

F206, 그룹 X은 ChDC F218이 속하였다.

3.2. Dot blot hybridization

F. nucleatum subsp. nucleatum의 아종-특이 DNA 프로브 Fu4(1.3 kb)는 8개의 F. nucleatum 표준균주와 22개의 한국인에서 분리한 F.

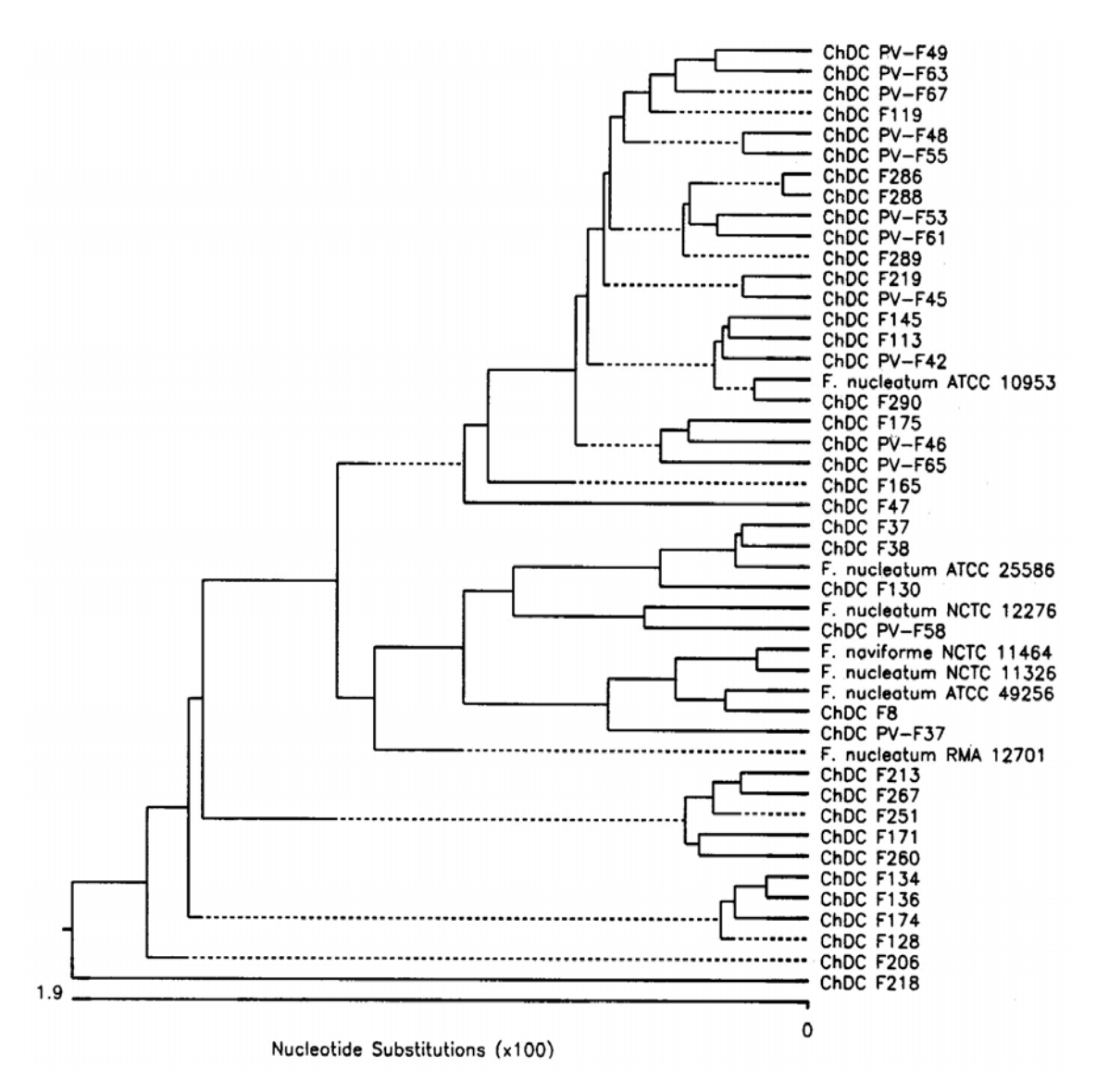


그림 1. Phylogram derived from homology analysis from 16S rDNA sequence of F. nucleatum isolated from subgingival plaque of Korean periodontitis patients.

nucleatum에서 양성반응을 보였다. 특히, F. nucleatum subsp. nucleatum(ATCC 25586, ATCC 23726)과 F. nucleatum subsp. animalis ATCC 51191에서 강하게 양성반응을 보였다. 그리고, ChDC F37, ChDC PV-F53, ChDC PV-F61, ChDC PV-F63, ChDC F165, ChDC F219, ChDC F286, ChDC F288 등에서 강하게 양성반응을 보

였다. 프로브 Fp4(0.8 kb)는 *F. nucleatum* subsp. *polymorphum* ATCC 10953에서 양성반 응을 보였고, ChDC PV-F61에서 강하게 양성반 응을 보였다. 프로브 Fv35(1.9 kb)는 *F. nucleatum* subsp. *vincentii* ATCC 49256에서 양성반 응, 프로브 Fs17(8,2 kb)은 *F. nucleatum* subsp. *fusiforme* ATCC 51190과 ChDC PV-F55에서 양

표 3	Location	of	the	aenomic	DNAs	from	F	nucleatum	blotted	onto	a i	nvlon	membrane
------------	----------	----	-----	---------	------	------	---	-----------	---------	------	-----	-------	----------

	1	2	3	4	5
A	Fnn. ATCC 25586	ChDC F37	ChDC PV-61	ChDC F165	ChDC F286
В	Fnn. ATCC 23726	ChDC PV-37	ChDC PV-63	ChDC F174	ChDC F288
С	Fnp. ATCC 10953	ChDC PV-45	ChDC PV-65	ChDC F186	ChDC F289
D	Fnv. ATCC 49256	ChDC PV-48	ChDC PV-67	ChDC F218	ChDC F290
Е	Fnf. ATCC 51190	ChDC PV-49	ChDC F113	ChDC F219	
F	Fp. ATCC 33693	ChDC PV-53	ChDC F119	ChDC F251	
G	Fne. ATCC 25286	ChDC PV-55	ChDC F134	ChDC F260	
Н	Fna. ATCC 51191	ChDC PV-58	ChDC F145	ChDC F267	



그림 2. Dot blot hybridization. Hybridization was performed with DIG-labeled insert DNA probes Fu4 (A), Fp4 (B), Fv35 (C), Fs17 (D).

성반응을 보였다(표 3, 그림 2).

4. 총괄 및 고안

한국인의 치주질환 부위에서 분리한 F. nucleatum을 아종 수준에서 동정하기 위한 본 연구에서 16S rDNA 종-특이 중합효소연쇄반응 프라이머를 이용하여 23개의 F. nucleatum으로 여겨지는 균주를 분리할 수 있었다. 이 균주의 16S rDNA 핵산염기서열을 분석한 결과 F. nucleatum 표준균주와 98% 이상의 상동성을 갖 는 23 균주를 얻었다. 그리고, Kook 등¹²⁾이 개발 한 F. nucleatum 아종-특이 DNA 프로브 Fu4(1.3 kb), Fp4(0.8 kb), Fv35(1.9 kb) 및 Fs17(8.2 kb) 등을 이용하여 dot blot hybridization을 실시한 결과, Fu4의 경우 F. nucleatum subsp. nucleatum ATCC 25586, F. nucleatum subsp. nucleatum ATCC 23726, F. nucleatum subsp. polymorphum ATCC 10953, F. nucleatum subsp. vincentii ATCC 49256, F. nucleatum subsp. fusiforme ATCC 51190 이외에 F. periodonticum ATCC 33693, F. necrophorum subsp. necrophorum ATCC 25286 및 F. nucleatum subsp. animalis ATCC 51191에서도 양성반응을 확인할 수 있었다. Fp4의 경우에서도 F. nucleatum subsp. polymorphum ATCC 10953 이외에 F. nucleatum subsp. animalis ATCC 51191에서 양성반응을 확인할 수 있었다. 이와 같은 반응은 F. nucleatum의 4가지 아종 이 외에 F. periodonticum ATCC 33693, F. necrophorum subsp. necrophorum ATCC 25286 및 F. nucleatum subsp. animalis ATCC 51191 균주들 간의 DNA 상동성에 의한 결과로 생각되어진다.

한국인에서 분리한 F. nucleatum 균주와 F.

nucleatum 표준균주의 16S rDNA 유전자 핵산염 기서열간의 상동성을 보기 위해서 MegAlign으로 분석하여 Phylogram을 만들어 본 결과 10 그룹 으로 나눌 수 있었다(그림 1). 20 균주의 F. nucleatum subsp. polymorphum, 3 균주의 F. nucleatum subsp. nucleatum, 2 균주의 F. nucleatum subsp. vincentii, 1 균주의 F. nucleatum subsp. animalis 그리고 어떠한 아종 으로도 분류되지 않은 13 균주가 검출되었다. 따 라서 분류되지 않은 13 균주는 F. nucleatum 16S rRNA 유전자 핵산염기서열간에 있어서 상동 성이 떨어지는 것을 알 수 있었고, F. nucleatum 4가지 아종 이외에 새로운 아종이 존재할 수 있 다는 가능성을 암시하고 있다. 아직 F. nucleatum 4가지 아종의 표준균주를 포함하여, 여러 임상균주들의 16S rRNA 유전자 핵산염기서 열 자료가 부족하기 때문에 새로운 아종의 존재 유무를 결정하기는 어려움이 있다고 할 수 있고, 또한 한국인에서 분리한 F. nucleatum을 아종 수 준에서 동정하기 위해서는 한계점이 존재한다고 할 수 있다. 따라서, Gharbia & Shah⁶⁻⁸⁾가 *F.* nucleatum subsp. nucleatum, F. nucleatum subsp. polymorphum, F. nucleatum subsp. fusiforme 및 동물에서 분리한 F. nucleatum subsp. animalis을 분류하는데 이용하였던 OGR 과 GDH 전기영동패턴법과 Dzink 등 $^{2)}$ 이 F. nucleatum subsp. nucleatum, F. nucleatum subsp. polymorphum 및 F. nucleatum subsp. vincentii를 분류하는데 이용하였던 SDS-PAGE 방법 그리고, 전통적인 표준 세균배양법과 생화 학검사등을 부가적으로 실시하여 한국인에서 분 리한 F. nucleatum 균주를 아종 수준에서 동정하 고, 재분류하는 작업이 필요할 것으로 생각된다. DNA 프로브법은 시간적, 경제적 그리고 노동 력적인 측면에서 많은 장점을 가지고 있고, 전통

적인 세균배양법, 항원-항체반응을 이용한 방법

보다 특이도와 민감도에 있어서도 뛰어난 것으로

보고 되고 있다21). 그림 1 & 2의 결과를 비교해 보면 16S rDNA 핵산염기서열의 Phylogram 분석 결과와 dot blot hybridization 결과가 차이가 있 음을 관찰할 수 있다. Phylogram에서 F. nucleatum subsp. polymorphum 그룹에 속했던 ChDC F290 균주의 경우 F. nucleatum 아종-특 이 DNA 프로브 Fp4에서는 아무런 반응을 보이 지 않았고, 이 그룹에 해당하지 않았던 ChDC PV-F37 균주에서는 양성반응을 보였다. 그리고, Fs17은 F. nucleatum subsp. fusiforme에 반응하 는 아종-특이 DNA 프로브이지만, F. nucleatum subsp. polymorphum 그룹에 해당하는 ChDC PV-F55 균주에서도 양성 반응을 보였다. 따라서, 본 연구에서 얻어진 한국인의 치주질환 환자에서 분리한 F. nucleatum 16S rDNA 핵산염기서열을 아종 수준에서 분리하기 위해서는 먼저, F. nucleatum 표준균주의 16S rDNA 핵산염기서열 자료가 확실하게 갖추어져야 할 것으로 보인다. 그리고, Kook 등¹²⁾이 개발한 F. nucleatum 아종-특이 DNA 프로브 Fu4, Fp4, Fv35 및 Fs17의 아 종 특이성을 Dot blot hybridization만으로 검증 하기에는 부족하였다. 그러므로, F. nucleatum 4 가지 아종-특이 DNA 프로브의 효용성을 검증하 기 위해서는 추가로 Southern blot hybridization 을 실시하여 정확한 반응을 확인하는 것이 필요 할 것으로 사료된다.

만약, *F. nucleatum* 아종-특이 DNA 프로브의 효용성이 검증된다면, 한국인에서 분리한 *F. nucleatum*을 신속 정확하게 검출 및 동정하고, 치주질환과의 병인론 연구에 이용될 수 있을 것으로 사료된다.

5. 결 론

한국인의 치주질환 부위에서 분리한 *F. nucleatum*을 16S rDNA 유전자 클로닝 및 핵산

염기서열결정법으로 동정하고, F. nucleatum 아종-특이 DNA 프로브를 이용하여 dot blot hybridization을 실시한 다음, 두 결과를 비교 분석하여 DNA 프로브가 F. nucleatum의 아종 수준에서의 동정에 이용 가능한 지를 알아보고자 본 연구를 시행하였고, 다음과 같은 결과를 얻었다.

- 1. 한국인에서 분리한 23 균주의 *F. nucleatum*을 표준균주와 16S rDNA 핵산염기서열을 분석한 결과 98% 이상의 상동성을 갖는 23 균주를 얻을 수 있었다. *F. nucleatum* 표준균주와한국인에서 분리한 균주 간의 상동성을 보기위해 MegAlign으로 분석하여 phylogram을만들어 본 결과 10 그룹으로 나눌 수 있었다.
- 2. F. nucleatum subsp. nucleatum의 아종-특이 DNA 프로브 Fu4(1.3 kb)는 실험에 이용된 8 개의 F. nucleatum 표준균주에서 양성반응을 보였다. 그리고 한국인에서 분리된 8 균주에서 강하게 양성반응을 보였다. 프로브 Fp4(0.8 kb)는 F. nucleatum subsp. polymorphum ATCC 10953에서 양성반응, 한국인에서 분리된 ChDC PV-F61 균주에서 강하게 양성반응을 보였다. 그리고, 프로브 Fv35(1.9 kb)는 F. nucleatum subsp. vincentii ATCC 49256에서 양성반응, 프로브 Fs17(8.2 kb)은 F. nucleatum subsp. fusiform ATCC 51190 및 ChDC PV-F55에서 양성반응을 보였다.

이상의 결과를 종합할 때, 한국인의 치주질환 환자에서 분리한 *F. nucleatum* 16S rDNA 유전 자 핵산염기서열을 아종 수준에서 분리하기 위해 서는 먼저 *F. nucleatum* 표준균주의 16S rDNA 핵산염기서열 자료가 확실하게 갖추어져야 할 것 으로 보인다. 그리고, *F. nucleatum* 아종-특이 DNA 프로브 Fu4, Fp4, Fv35 및 Fs17의 아종 특 이성을 Dot blot hybridization만으로 검증하기에 는 부족하였다. 그러므로, 4가지 *F. nucleatum* 아종-특이 DNA 프로브의 효용성을 검증하기 위해서는 추가로 Southern blot hybridization을 실시하여 정확한 반응을 확인하는 것이 필요할 것으로 사료된다.

참고문헌

- Bolstad AI, Jensen HB, Bakken V. Taxonomy, biology, and periodontal aspects of *Fusobacterium nucleatum*. Clin Microbiol Rev 1996:9:55-71
- 2. Dzink JL, Sheenan MT, Socransky SS... Proposal of three subspecies of Fusobacterium nucleatum Knorr 1922: Fusobacterium nucleatum subsp. nucleatum subsp. nov., comb. nov.; Fusobacterium nucleatum subsp. polymorphum subsp. nev., comb. nov., nom. nov; and Fusobacterium nucleatum subsp. vincentii subsp. nov., nom. rev., comb. nov. Int J Syst Bacteriol 1990:40:74-78
- Dzink JL, Socransky SS, Haffajee AD. The predominant cultivable microbiota of active and inactive lesions of destructive periodontal diseases. J Clin Periodontol 1988:15:316-323
- Dzink JL, Tanner AC, Haffajee AD, Socransky SS. Gram negative species associated with active destructive periodontal lesions. J Clin Periodontol 1985:12:648-659
- Gharbia SE, Shah HN, Lawson PA, Haapasalo M. Distribution and frequency of Fusobacterium nucleatum subspecies in the

- human oral cavity. Oral Microbiol Immunol 1990:5:324-327
- Gharbia SE, Shah HN. Characteristics of glutamate dehydrogenase, a new diagnostic marker for the genus *Fusobacterium*. J Gen Microbiol 1988:134(Pt 2):327-332
- 7. Gharbia SE, Shah HN Glutamate dehvdrogenase 2-oxoglutarate and reductase electrophoretic patterns deoxyribonucleic acid-deoxyribonucleic acid hybridization among human oral isolates of Fusobacterium nucleatum. Int J Syst Bacteriol 1989:39:467-470
- 8. Gharbia SE, Shah HN. Heterogeneity within Fusobacterium nucleatum, proposal of four subspecies. Lett Appl Microbiol 1990:10: 105-108
- 9. Jang HS, et al. Isolation of *Fusobacterium* nucleatum from subgingival plaque in Korean. J Korea Academy Periodontol 2003:33:149-158
- Jantzen E, Hofstad T. Fatty acids of Fusobacterium species: taxonomic implications. J Gen Microbiol 1981:123(1): 163-171
- Knorr M. Uber die fusospirillare Sysmbiose, die Gattung Fusobacterium (K. B. Lehmann) und Spirillium sputigenum. (Zugleich ein Beitrag zur Bakteriologie der Mundhohle). I. Mitteilung: die Gattung Fusobacterium. Zentralbl Bakteriol Parasitenkd Infektionskr Hyg Abt 1 Orig 1923:89:4-22
- Kook JK, Kim MK, Seong JH, et al. A new method for rapid screening of bacterial species- or subspecies-specific DNA probes. FEMS Microbiol Lett 2003;219: 121-127

- 13. Lippke JA, Strzempko MN, Raia FF, Simon SL, French CK. Isolation of intact high-molecular-weight DNA by using guanidine isothiocyanate. Appl Environ Microbiol 1987:53:2588-2589
- 14. Moore WE, Holdeman LV, Smibert RM, et al. Bacteriology of severe periodontitis in young adult humans. Infect Immun 1982:38:1137-1148
- 15. Moore WE. Microbiology of periodontal disease, J Periodontol Res 1987:22:335-341
- 16. Moore WE, Hash DE, Holdeman LV, Cato EP. Polyacrylamide slab gel electrophoresis of soluble proteins for studies of bacterial floras. Appl Environ Microbiol 1980:39: 900-907
- 17. Morris ML, Andrews RH, Rogers AH. The use of allozyme electrophoresis to assess genetic heterogeneity among previously

- subspeciated isolates of *Fusobacterium* nucleatum, Oral Microbiol Immunol 1996:11:15-21
- Potts TV, Holdeman LV, Slots J. Relationships among the oral fusobacteria assessed by DNA-DNA hybridization. J Dent Res 1983:62:702-705
- Sambrook J, Fritsch EF, Maniatis T. Molecular cloning: a laboratory manual. Ed, 2nd. Cold Spring Harbor Laboratory Press 1989
- 20. Savitt ED, Keville MW, Peros WJ. DNA probes in the diagnosis of periodontal microorganisms. Arch Oral Biol 1990:35 (Suppl.):153S-159S
- Walter JL. DNA probe and enzyme analysis in periodontal diagnostic. J Periodontol 1992:63:1102-1109

Abstract

Identification of *Fusobacterium nucleatum* isolated from Korean by *F. nucleatum* subspecies-specific DNA probes

Hwa-Sook Kim, Joong-Ki Kook¹

Department of Dental Hygiene, Chunnam Techno College,

¹Department of Oral Biochemistry, College of Dentistry, Chosun University

Key words: Fusobacterium nucleatum, 16S rDNA, nucleotide, dot blot hybridization

The purpose of this investigation was to evaluate of the specificity of Fusobacterium nucleatum subspecies-specific DNA probes using dot blot hybridization. To confirm whether the clinical isolates were F. nucleatum or not, 16S rDNA of them were cloned and sequenced. The sequencing data were used in homology search with database of GenBank. When the homology was above 98% compared with the nucleotide sequence of a certain bacteria, it was judged as the same species with the bacteria. 23 strains of F. nucleatum were isolates from subgingival plaque of periodontitis patient. The clinical isolates of F. nucleatum were classified into 10 groups using phylogenetic analysis of 16S rDNA sequence. F. nucleatum subspecies nucleatum-specific DNA probe Fu4 (1,3 kb) reacted with genomic DNAs from 8 type strains of F. nucleatum and it reacted strongly with those from 8 clinical isolates. The Fp4 (0.8 kb) reacted with F, nucleatum subsp. polymorphum ATCC 10953 and one clinical isolates. Fv35 (1,9 kb) and Fs17 (8,2 kb) probes reacted with genomic DNAs from F. nucleatum subsp. vincentii ATCC 49256 and F. nucleatum subsp. fusiform ATCC 51190, respectively. Our results showed that it is not enough to evaluate the specificity of F. nucleatum subspecies-specific DNA probes with only dot blot hybridization. Therefore, Southern blot analysis will be necessary to confirm the specificity of F. nucleatum subspecies-specific DNA probes.